

FILTRACJA PODPASMOWA

(ang. SUBBAND FILTERING)

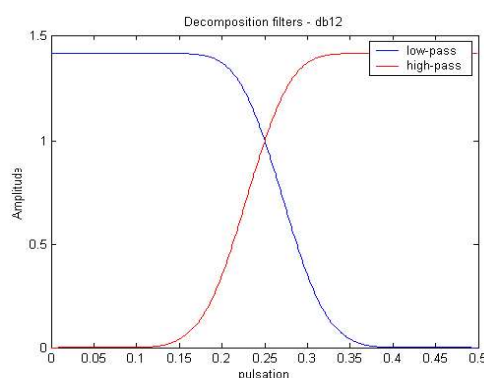
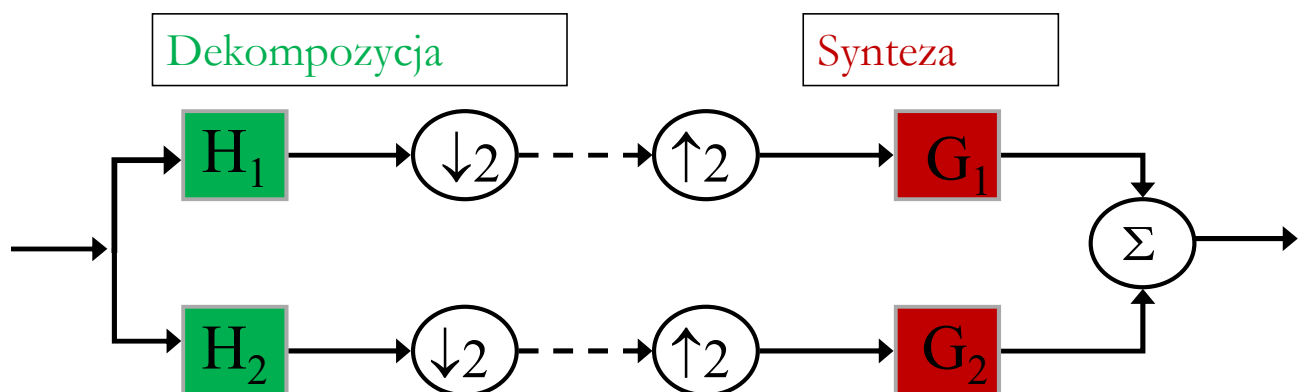
Filtracja podpasmowa

Spis treści:

1. Dwukanałowa filtracja podpasmowa
2. Perfekcyjna rekonstrukcja
3. M-kanałowa filtracja podpasmowa
4. Banki filtrów – filtry kwadraturowe
5. Dekompozycja i rekonstrukcja falkowa

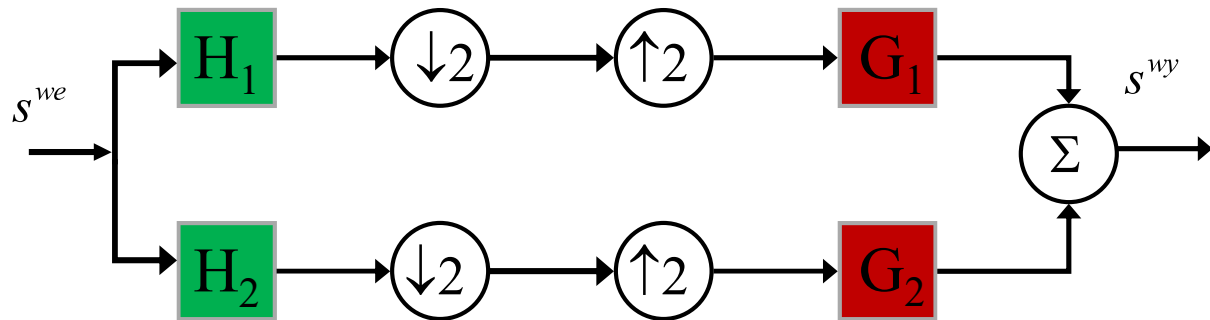
Dwukanałowa filtracja podpasmowa

Schemat filtracji dwukanałowej



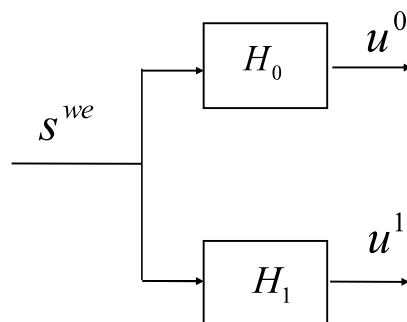
H_1, G_1 - filtry dolnoprzepustowe
 H_2, G_2 - filtry górnoprzepustowe

Perfekcyjna rekonstrukcja (ang. perfect reconstruction)



$$\bar{s}^{wy}(z) \stackrel{df}{=} c z^{-k} \bar{s}^{we}(z)$$

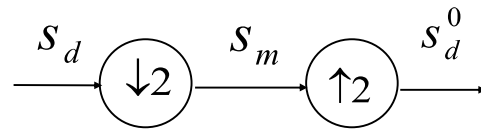
Model dekompozycji sygnału



$$\begin{cases} \bar{u}^0(z) = H_0(z) \bar{s}^{we}(z) \\ \bar{u}^1(z) = H_1(z) \bar{s}^{we}(z) \end{cases}$$

Model sekwencji pod- i nadpróbkowania

$$s_d^0(n) = \frac{1}{2} [1 + (-1)^n] s_d(n)$$



Mnożąc obustronnie przez z^{-n} otrzymujemy

$$s_d^0(n) z^{-n} = \frac{1}{2} [s_d(n) z^{-n} + s_d(n) (-1)^{-n} z^{-n}] \quad \text{dla} \quad n \in \mathfrak{Z}$$

Sumując po wszystkich n dostajemy

$$\sum_n s_d^0(n) z^{-n} = \frac{1}{2} \left[\sum_n s_d(n) z^{-n} + \sum_n s_d(n) (-1)^{-n} z^{-n} \right]$$



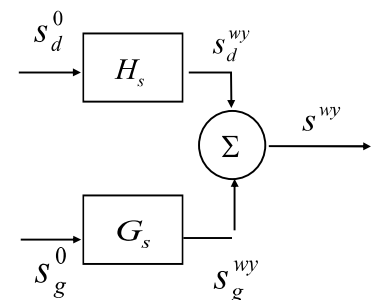
$$\bar{s}_d^0(z) = \frac{1}{2} [\bar{s}_d(z) + \bar{s}_d(-z)]$$

7

Model syntezy sygnału

$$\bar{s}^{wy}(z) = H_s(z) \bar{s}_d^0(z) + G_s(z) \bar{s}_g^0(z)$$

$$\text{gdzie} \quad \begin{cases} \bar{s}_d^0(z) = \frac{1}{2} [\bar{s}_d(z) + \bar{s}_d(-z)] \\ \bar{s}_g^0(z) = \frac{1}{2} [\bar{s}_g(z) + \bar{s}_g(-z)] \end{cases}$$



$$\bar{s}^{wy}(z) = \frac{1}{2} H_s(z) [\bar{s}_d(z) + \bar{s}_d(-z)] + \frac{1}{2} G_s(z) [\bar{s}_g(z) + \bar{s}_g(-z)]$$

8

Model całego systemu

$$\begin{aligned}\bar{s}^{wy}(z) &= \frac{1}{2} H_s(z) [H_d(z) \bar{s}^{we}(z) + H_d(-z) \bar{s}^{we}(-z)] \\ &\quad + \frac{1}{2} G_s(z) [G_d(z) \bar{s}^{we}(z) + G_d(-z) \bar{s}^{we}(-z)] \\ \bar{s}^{wy}(z) &= \frac{1}{2} [H_s(z) H_d(z) + G_s(z) G_d(z)] \bar{s}^{we}(z) \\ &\quad + \frac{1}{2} [H_s(z) H_d(-z) + G_s(z) G_d(-z)] \bar{s}^{we}(-z)\end{aligned}$$

W zapisie macierzowym

$$\bar{s}^{wy}(z) = \frac{1}{2} \begin{bmatrix} H_s(z) & G_s(z) \end{bmatrix} \begin{bmatrix} H_d(z) & H_d(-z) \\ G_d(z) & G_d(-z) \end{bmatrix} \begin{bmatrix} \bar{s}^{we}(z) \\ \bar{s}^{we}(-z) \end{bmatrix}$$

9

Warunki perfekcyjnej rekonstrukcji

$$\bar{s}^{wy}(z) = cz^{-k} \bar{s}^{we}(z)$$

$$\begin{aligned}\bar{s}^{wy}(z) &= \frac{1}{2} [H_s(z) H_d(z) + G_s(z) G_d(z)] \bar{s}^{we}(z) \\ &\quad + \frac{1}{2} [H_s(z) H_d(-z) + G_s(z) G_d(-z)] \bar{s}^{we}(-z)\end{aligned}$$



$$H_s(z) H_d(-z) + G_s(z) G_d(-z) = 0$$

$$H_s(z) H_d(z) + G_s(z) G_d(z) = 2cz^{-k}$$

10

Perfekcyjna rekonstrukcja przy pomocy filtrów typu FIR

$$H_d(z)G_d(-z) - H_d(-z)G_d(z) = 2z^{-2k-1}$$

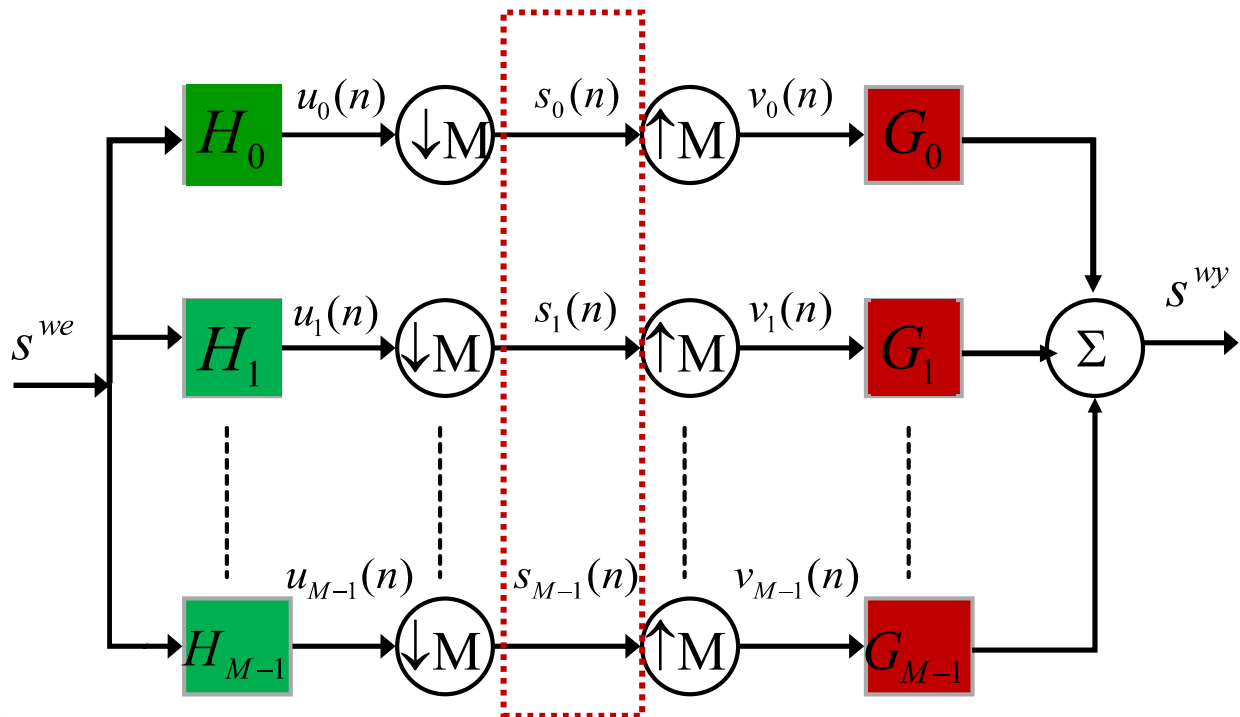
$$\begin{bmatrix} H_s(z) & G_s(z) \end{bmatrix} = cz^{-k} \begin{bmatrix} G_d(-z) & -H_d(-z) \end{bmatrix}$$

11

Wielokanałowa filtracja podpasmowa

12

Rysunek M-kanalowej dekompozycji i syntezy sygnału



Model M-kanalowej dekompozycji sygnału

$$\bar{s}_i(z) = \frac{1}{M} \sum_{m=0}^{M-1} H_i(z^{1/M} w_M^m) \bar{s}^{we}(z^{1/M} w_M^m)$$

$$\underline{\bar{s}}(z) = \frac{1}{M} \mathbf{H}(z^{1/M}) \underline{\bar{s}}^{we}(z^{1/M}) \quad w_M = e^{-2\pi j / M}$$

gdzie $\underline{\bar{s}}(z) = [\bar{s}_0(z) \quad \bar{s}_1(w_M z) \quad \cdots \quad \bar{s}_{M-1}(w_M^{M-1} z)]^T \in \mathfrak{I}^M$

$$\underline{\bar{s}}^{we}(z) = [\bar{s}^{we}(z) \quad \bar{s}^{we}(w_M z) \quad \cdots \quad \bar{s}^{we}(w_M^{M-1} z)]^T \in \mathfrak{I}^M$$

$$\mathbf{H}(z) = \begin{bmatrix} H_0(z) & H_0(w_M z) & \cdots & H_0(w_M^{M-1} z) \\ H_1(z) & H_1(w_M z) & \cdots & H_1(w_M^{M-1} z) \\ \vdots & \vdots & \cdots & \vdots \\ H_{M-1}(z) & H_{M-1}(w_M z) & \cdots & H_{M-1}(w_M^{M-1} z) \end{bmatrix} \in \mathfrak{I}^{M \times M}$$

Model matematyczny M-kanalowej syntezy i dekompozycji sygnału

$$\bar{s}^{wy}(z) = \sum_{m=0}^{M-1} G_m(z) \bar{s}_m(z^M) = \underline{G}(z) \underline{\bar{s}}(z^M)$$

gdzie $\underline{G}(z) = [G_0(z) \quad \cdots \quad G_{M-1}(z)] \in \mathbb{R}^M$

$$\underline{\bar{s}}(z) = \frac{1}{M} \mathbf{H}(z^{1/M}) \underline{\bar{s}}^{we}(z^{1/M})$$

$$\bar{s}^{wy}(z) = \frac{1}{M} \underline{G}(z) \mathbf{H}(z) \underline{\bar{s}}^{we}(z)$$

Warunek perfekcyjnej rekonstrukcji w M-kanalowym systemie

$$\frac{1}{M} G(z) H(z) = [cz^{-k} \quad 0 \quad \cdots \quad 0]$$

$$\bar{s}^{wy}(z) = \frac{1}{M} G(z) H(z) \underline{\bar{s}}^{we}(z)$$

czyli

$$\frac{1}{M} \sum_{m=0}^{M-1} G_m(z) H_m(z) = cz^{-k}$$

$$\sum_{m=0}^{M-1} G_m(z) H_m(w_M z) = 0$$

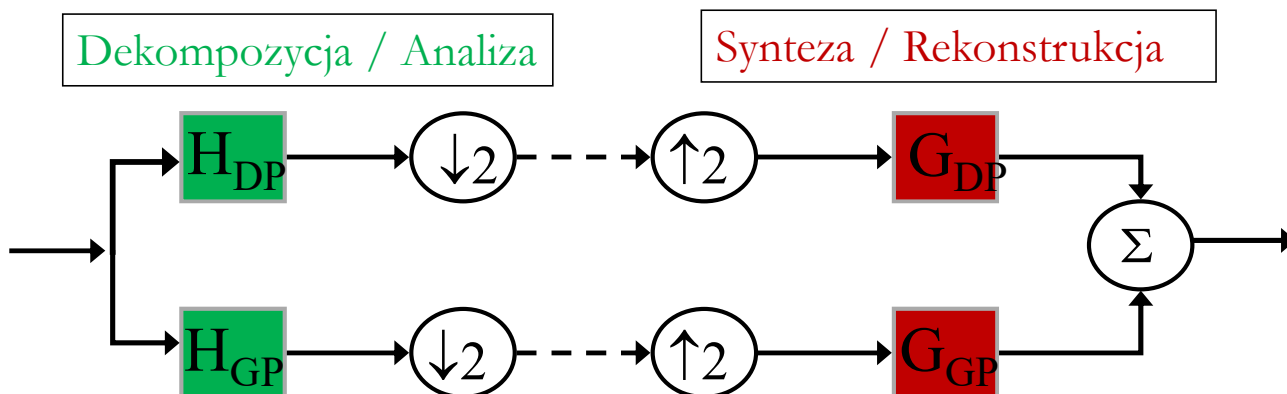
$$\sum_{m=0}^{M-1} G_m(z) H_m(w_M^{M-1} z) = 0$$

Banki filtrów - Kwadraturowe Filtry Zwierciadlane (ang. Quadrature Mirror Filters - QMF)

Banki filtrów

Podsumowanie wcześniejszych pojęć:

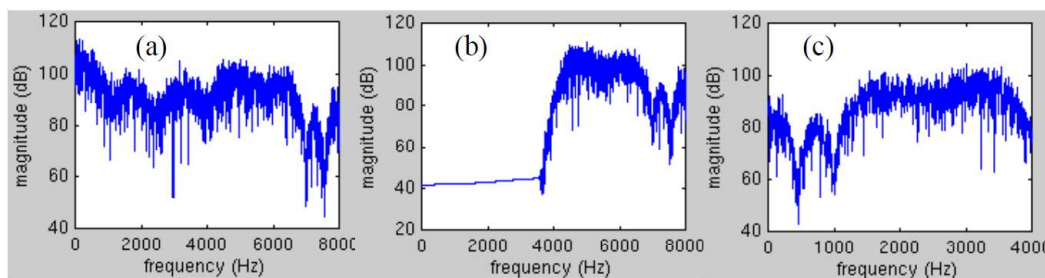
- Próbkowanie krytyczne (ang. critical sampling) – jeśli bank filtrów dzieli pasmo sygnału wejściowego na M podpasm to sygnał w każdym podpasmie jest podpróbkowany M -krotnie. W rezultacie nie zmienia się rozmiar danych
- Perfekcyjna rekonstrukcja (ang. perfect reconstruction) – jeśli sygnał nie zostaje dodatkowo zmieniony w podpasmach, to taki sygnał zostanie zrekonstruowany przez bank filtrów syntezujących a sygnał wyjściowy nie będzie zawierał błędów aliasingu
- W bankach filtrów z krytycznym próbkowaniem mogą pojawić się błędy aliasingu gdy filtry nie są idealne (np. występuje szerokie pasmo przejściowe)
- Z reguły banki filtrów są projektowane tak by bank filtrów syntezy eliminował aliasing występujący po filtrach analizy



Krytyczne próbkowanie dla dwóch podpasm

W banku filtrów analizy (dekompozycji):

- Kiedy górna połowa pasma oryginalnego $[f_p/4, f_p/2]$ zostaje poddana decymacji (bierzemy tylko co drugą próbkę), zostaje ona odbita (odbicie lustrzane) do dolnej połowy pasma oryginalnego $[0, f_p/4]$

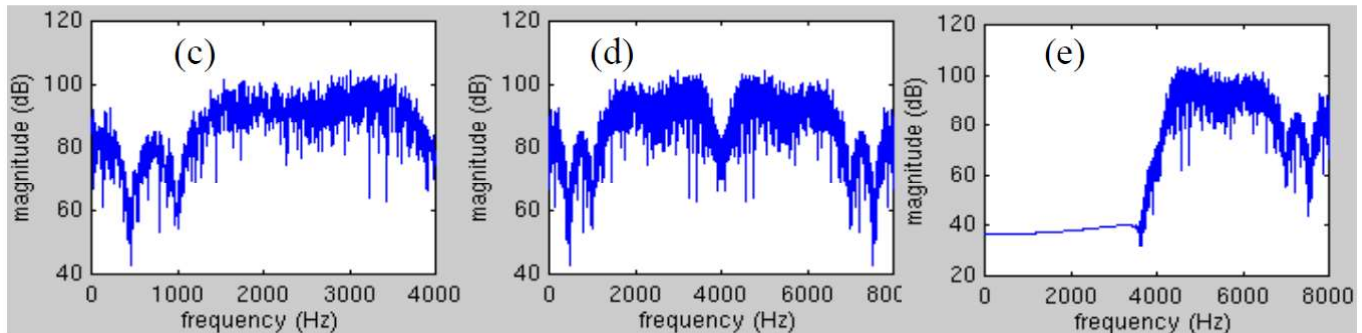


a) Spektrum oryginalnego sygnału, b) spektrum po filtracji filtrem górno-przepustowym, c) spektrum po filtracji filtrem górno-przepustowym i decymacji

Oryginalna $f_N = 8kHz$ a po analizie wynosi $f_N = 4kHz$

Krytyczne próbkowanie dla dwóch podpasm

W banku filtrów syntezy (rekonstrukcji):



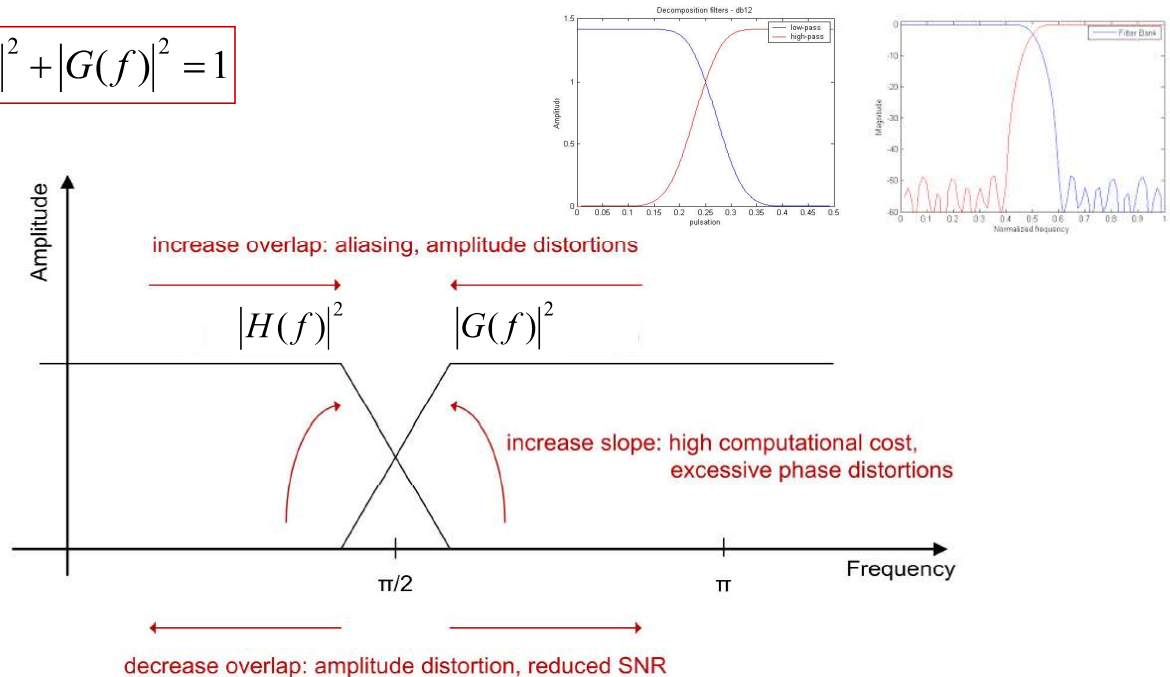
c) spektrum po filtracji filtrem górno-przepustowym i decymacji po przejściu przez bank filtrów analizy, d) spektrum po ekspanderze (wstawieniu zer), e) spektrum po ekspanderze i filtrze górnoprzepustowym (dla sygnału z c))

Kwadraturowe filtry zwierciadlane (ang. Quadrature Mirror Filter QMF)

- QMF: filtry są zaprojektowane w taki sposób by aliasing występujący po banku filtrów analizy został wyeliminowany w banku filtrów syntezy, a w rezultacie by osiągnąć perfekcyjną rekonstrukcję (w przypadku braku dodatkowych modyfikacji sygnału w podpasmach).
- W tym banku filtrów pasmo dolne sukcesywnie rozbijane jest na górne i dolne pasmo częstotliwości, w każdym dokonujemy 2-krotnej decymacji
- Ten sam filtr prototypowy może być użyty w podziałach na dolne i górne pasma częstotliwości

Kwadraturowe filtry zwierciadlane (ang. Quadrature Mirror Filter QMF)

$$|H(f)|^2 + |G(f)|^2 = 1$$



23

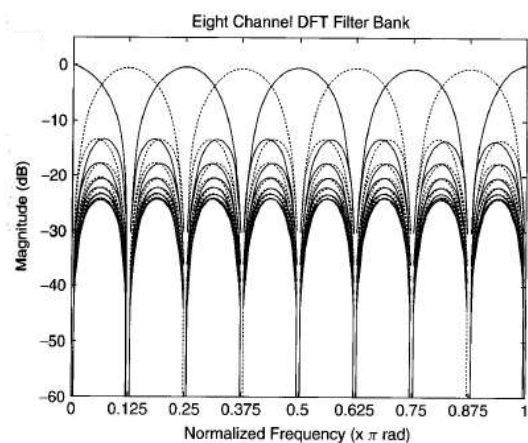
Banki filtrów a transformacje

- W przypadku banków filtrów, sygnał w m-tym podpaśmie otrzymujemy poprzez splot sygnału wejściowego z filtrem dla danego podpasma, po czym następuje podpróbkowanie
- W przypadku transformat, współczynniki odpowiadające funkcjom bazowym dla indeksu częstotliwości k otrzymujemy jako iloczyn skalarny sygnału wejściowego przemnożonego przez okno and funkcji bazowej dla indeksu częstotliwości k.
- Natomiast bank filtrów umożliwia uzyskanie nierównomiernej rozdzielczości częstotliwościowej oraz zaprojektowanie filtrów niezależnie dla każdego z podpasma

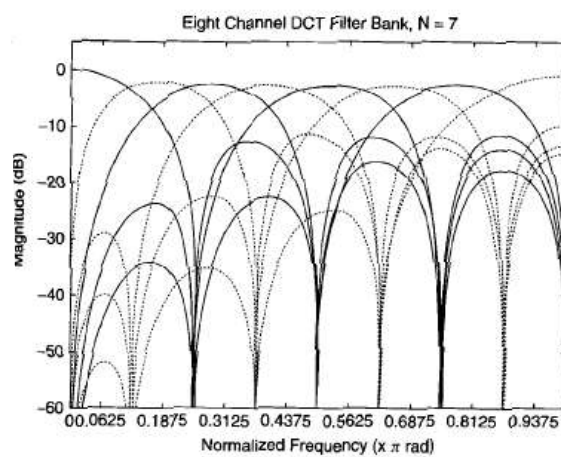
24

Banki filtrów a transformacje

Cyfrowa transformacja Fouriera
8-elementowe DFT



Cyfrowa transformacja kosinusowa
8-elementowe DCT



Dekompozycja i rekonstrukcja falkowa

Dyskretna transformacja falkowa

DWT od. ang. Discrete Wavelet Transform

$$c_{m+1,n} \Leftarrow s(n)$$

$$s_{m+1}(t) = \sum_n c_{m+1,n} \varphi_{m+1,n}(t)$$

$$c_{m,n} = \sum_k h_{k-2n} c_{m+1,k}$$

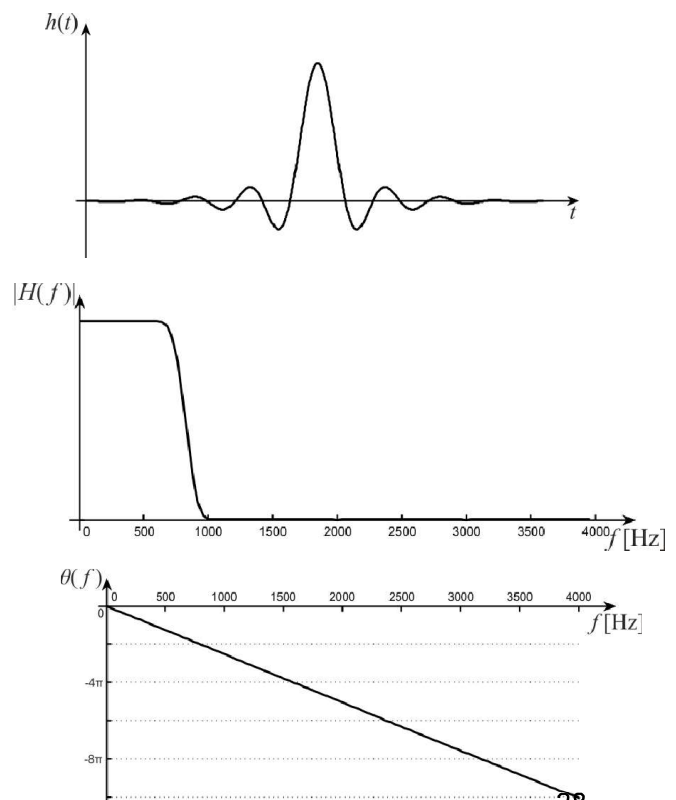
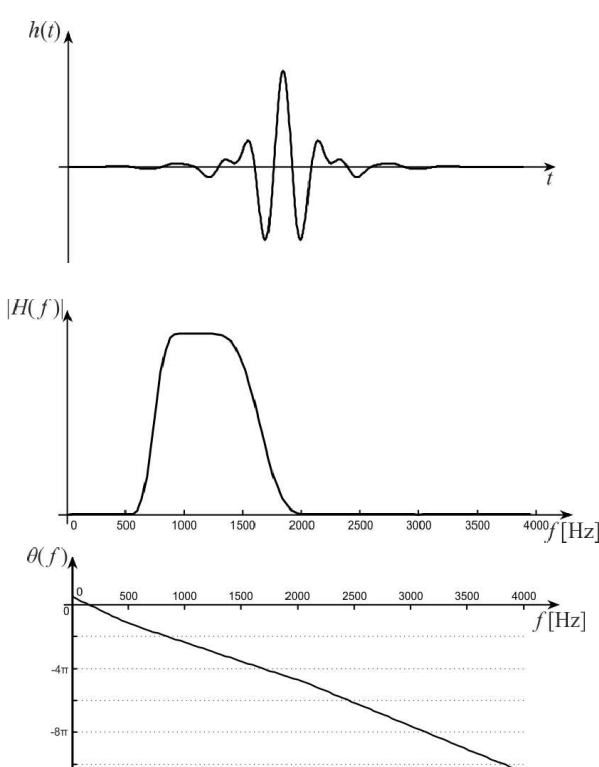
$$d_{m,n} = \sum_k g_{k-2n} c_{m+1,k}$$

Gdzie $c_{m,n}$ i $d_{m,n}$ są odpowiednio dobranymi współczynnikami aproksymacji i detali,

$$\text{DWT} = \left\{ \{d_{m,n}\}_n, \{d_{m-1,n}\}_n, \dots, \{d_{m-M,n}\}_n, \{c_{m-M,n}\}_n \right\}$$

27

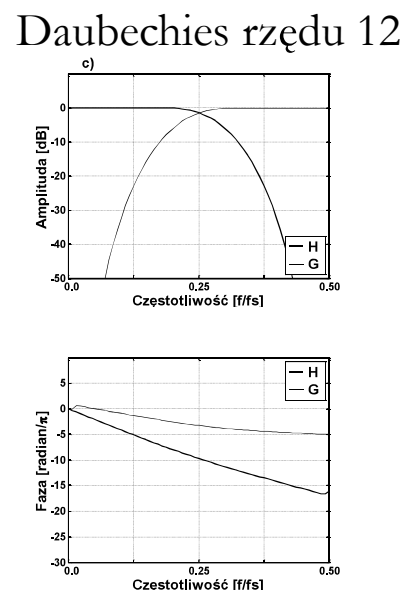
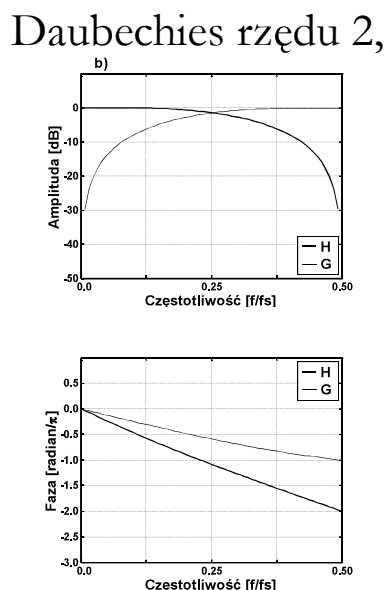
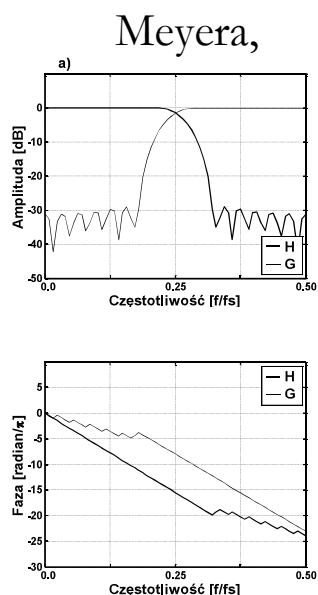
Falka i funkcja skalująca Meyera



28

Porównanie filtrów zwierciadlanych

Dla falek:



Kwadraturowe filtry zwierciadlane

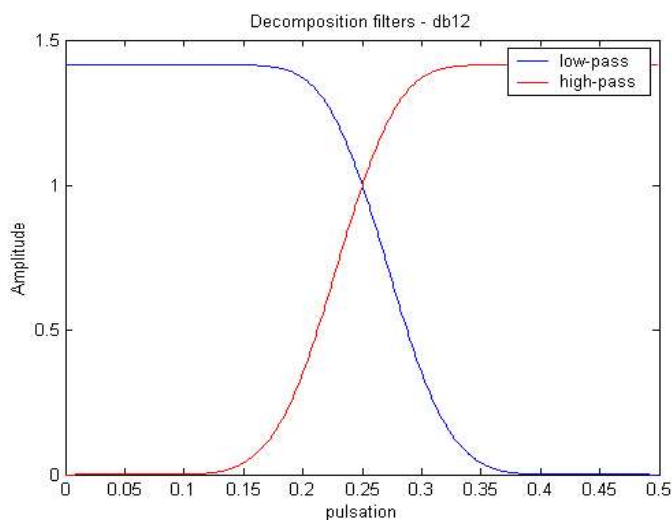
$$c_{m,n} = \sum_k h_{k-2n} c_{m+1,k} \quad \text{dla każdego } m, n \in \mathbb{Z}$$

$$d_{m,n} = \sum_k g_{k-2n} c_{m+1,k} \quad \text{dla każdego } m, n \in \mathbb{Z}$$

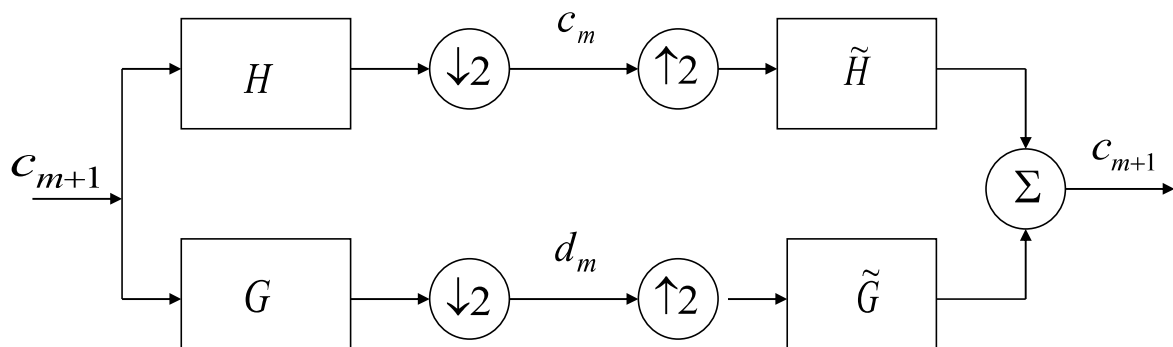
$$k^{\text{nowe}} = 2n + k^{\text{stare}}$$

Kwadraturowe filtry
zwierciadlane

$$|H(f)|^2 + |G(f)|^2 = 1$$

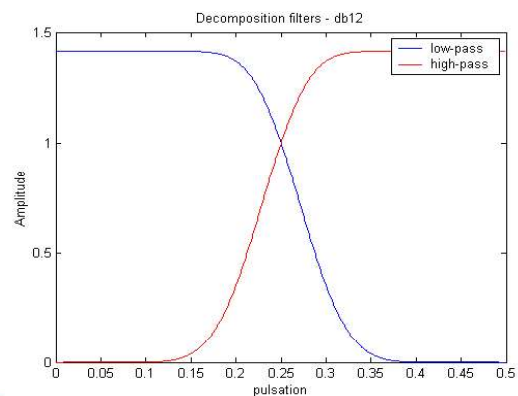


Przykład: dekompozycja i rekonstrukcja falkowa

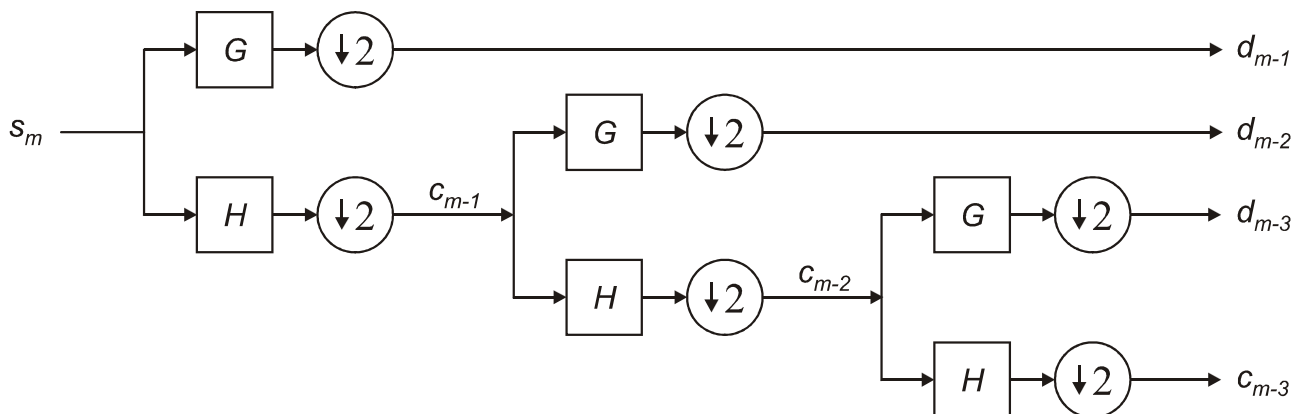


c_m - współczynniki zawierające informację z pasma dolnego

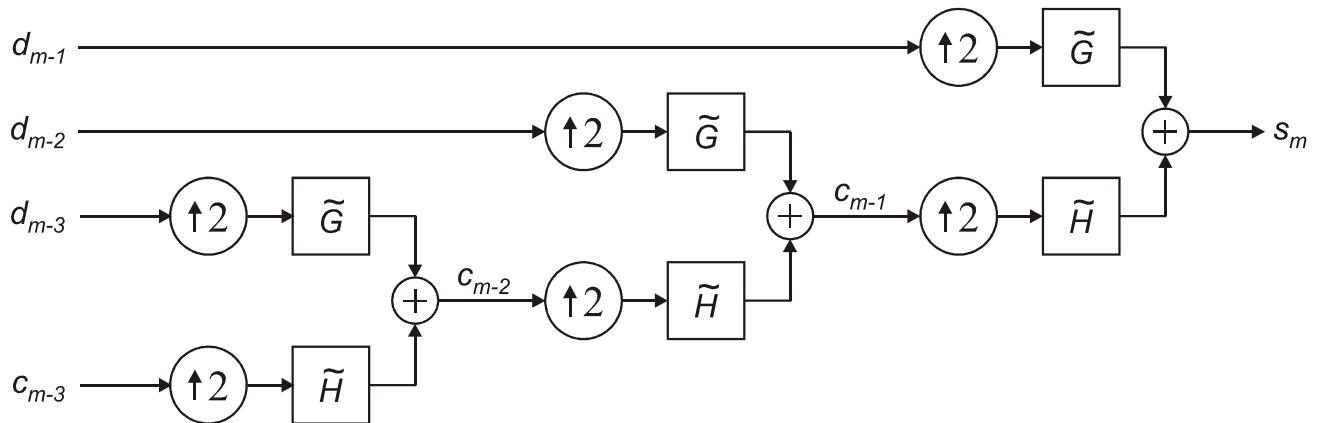
d_m - współczynniki zawierające informację z pasma górnego



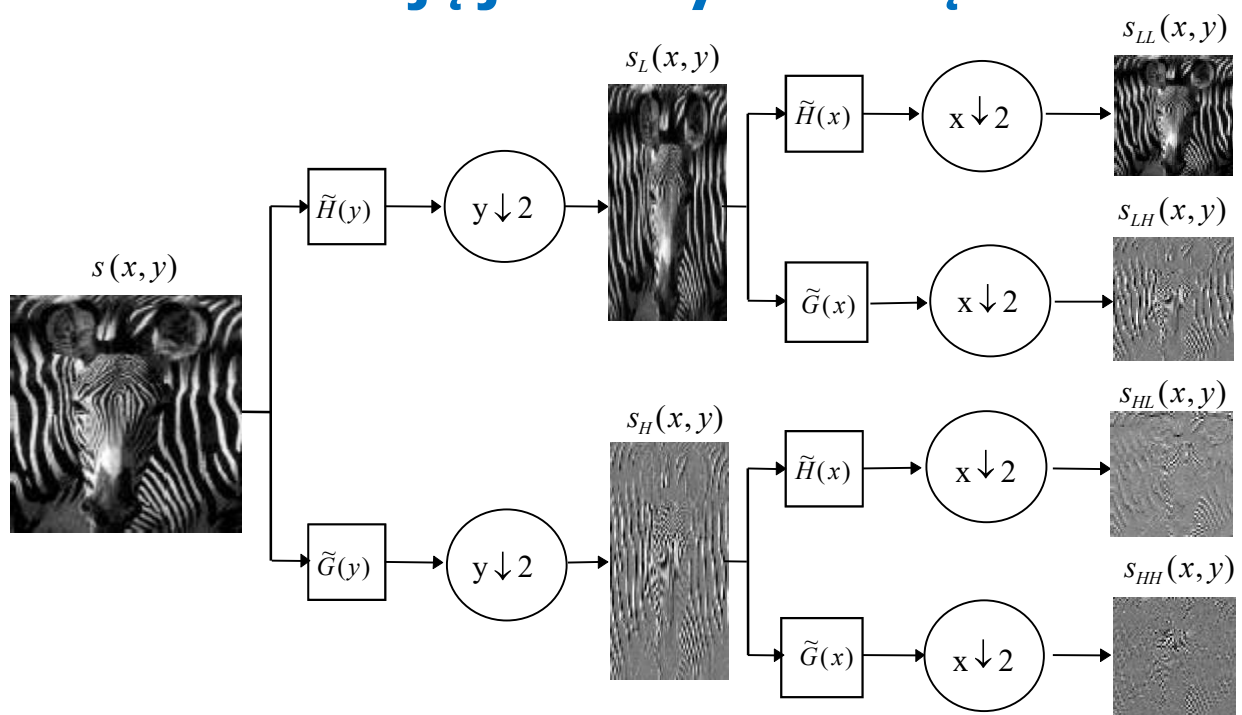
Przykład: schemat wielorozdzielczej dekompozycji falkowej (3 poziomy)



Przykład: schemat wielorozdzielczej rekonstrukcji falkowej (3 poziomy)



Dekompozycja obrazu wykorzystująca filtrację jednowymiarową



Rekonstrukcja obrazu

